

Dグラフで読みとった。

$\alpha = 60^\circ$, $b = 30$ cm, $\beta = 30^\circ$ の時の地形面上の圧力分布を図2に、車体の周りの圧力分布を図3に示す。図2によれば、風下側斜面付近では圧力勾配が正になっており、地表面近傍には逆流の存在する可能性を示している。この傾向はタフトによる観察においても現れ、程度の差はあれ、実験ケースにおいて観察された。この道路面上に逆流を伴う渦の発生する事実は、建設者の現地調査でも確認されている。車体の直前の大きな圧力ピークは、車体の直前および直下には大きな流れが存在していることを示している。

車体の周りの圧力分布では、当然ながら風上側では大きな正圧を受け、他の側面では地形条件により正負の値をとる。

表2は図3のように得られた圧力分布から計算した：車体にかかる力の合力 P (単位長さ当り)、風下側の車輪の地表面との接点(図3のE)のまわりのモーメント M (単位幅当り)、抗力係数 C_D および揚力係数 C_L 、モーメントの腕の長さ r を示したものである。ここで抗力係数および揚力係数は各々、合力の水平成分および鉛直成分を $\frac{1}{2}\rho U^2 A$ 、ここで ρ は空気の密度、 U は取出口での風速、 A は風に面している面積である。また合力の計算にあつては、各面の一番外側の圧力測定値から隅角部にかけては一定値であるとした。

図4にはこれらの値を、風下側斜面の角度 β の関数として示した。この図から $\beta = 0$ 、すなわち風下側斜面のない場合には、 P 、 M は最大であること、道路幅員 b の増加に伴い複雑に変化するが、本実験の範囲では P 、 M は減少する傾向がある。

3. 車両の転倒条件

本実験結果から原型車両の転倒する条件を求めることができる。車両の転倒条件は次式で表わされる。

$$M = Pr = Wt/2 \quad (1)$$

ここで W は車両の重量、 t は車両の幅である。 C_D 、 C_L を用いると式(1)について次のように解くことができる。

$$U^2 = \frac{1}{(C_D^2 + C_L^2)^{1/2}} \frac{W}{\rho A} \frac{t}{r} \quad (2)$$

この式により、米山地区に最も近い $\alpha = 60^\circ$, $b = 30$ cm, $\beta = 30^\circ$ のケースについて、縮率を $1/30$ とし、 $W = 2000$ kg として計算すると $U = 37.2$ m/s となる。この数値は事故当時の瞬間風速として推定されている値 33 m/s に近い。

4. あとがき

車両の転倒事故について、本研究は初歩的な研究を行ったものである。実際の転倒においては、米山地区の例では風上側に倒れることと報じられるように大変に複雑なものであり、将来の研究が必要である。

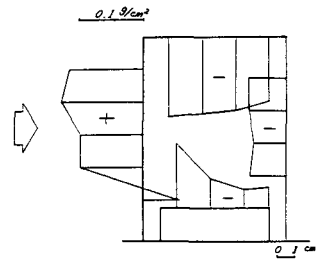


図3 車体周りの圧力分布測定例
($\alpha = 60^\circ$, $b = 30$ cm, $\beta = 30^\circ$)

表3 車体に働く力、モーメント

α	b	β	P	M	C_D	C_L	r
$^\circ$	cm		g/cm	gcm/cm			cm
30	20	30	1.66	12.6	1.04	-0.22	7.60
30	30	30	1.55	10.6	0.99	-0.01	6.80
30	40	30	1.50	10.1	0.96	0.05	6.74
30	20	60	1.25	10.8	0.67	-0.43	8.62
30	30	60	1.36	9.82	0.86	-0.12	7.21
30	40	60	1.18	10.1	0.76	-0.04	8.49
30	∞	0	1.75	12.4	1.12	-0.03	7.10
60	20	30	1.34	12.1	0.79	-0.32	9.01
60	30	30	1.51	13.2	0.92	-0.30	8.74
60	40	30	1.31	11.2	0.82	-0.16	8.57
60	20	60	0.611	6.74	0.31	-0.23	11.0
60	30	60	1.08	14.1	0.69	-0.14	13.0
60	40	60	1.11	10.4	0.69	-0.16	9.31
60	∞	0	1.92	14.3	1.23	0.05	7.42

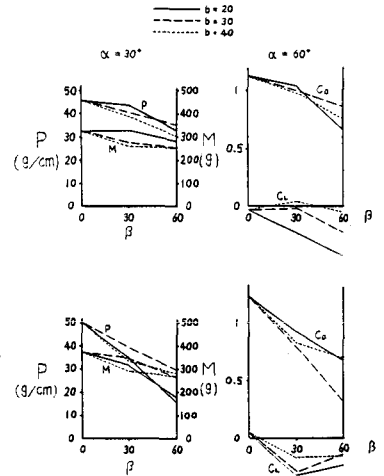


図4 車体に働く力 P 、モーメント M 、 C_D 、 C_L